

آموزش دینامیک ساز و کارها به کمک رایانه

دکتر کاظم ابهری

استادیار دانشکدهٔ فنی دانشگاه تهران

عضو رسمی فرهنگستان مهندسان مکانیک ASME

چکیده

کاربرد رایانه در دانش و فن، روزبه روز بیشتر می‌شود و امروز کندوکا و طراحی مهندسی به کمک رایانه کاری است بسیاری. با این ابزار پربرکت، مهندسان دشواری‌های بزرگی را از پیش پای خود برداشتند و مساله‌های پیچیده‌بی‌گشوده‌اند. از این‌رو امروزه، روش‌های آموزش و پژوهش مهندسی نیز، زیر پرتو رایانه، تحول یافته‌است و رایانه‌همچون ابزاری نیرومند را این زمینه به کار گرفته‌می‌شود. یکی از مساله‌های دشوار و زمانگیر مهندسی مکانیک حل دینامیکی ساز و کار از راه تحلیلی است. از این‌رو تاکنون روش رایج حل این‌گونه مساله‌ها، راه ترسیمی بوده است زیرا، نه تنها یافتن معادله‌های حرکت، سرعت و شتاب آنها، که حل آنها نیز کاری سنگین است، و درنتیجه امروزه تنها راه از میان برداشتن این دشواری بهره‌گیری از رایانه است و بس. نویسندهٔ این نوشتار، در چند سال گذشته، در زمینه آموزش دینامیک ساز و کارها، به کمک رایانه تجربه‌بی کرده است که، در راه بکارگیری این ابزار نوین آموزشی، بسیار پربار و پربازد است. این نوشتار برای شناساندن این تجربه به دست اندکاران آموزش این دانش مهم است که در طراحی ماشین از ارزش و اهمیت بسیار برخوردار است.

نمادها

$$\bar{F} = \text{نیروی لختی}$$

$$\bar{z} = \text{نیروی که بندگار بیندگار} \quad \bar{z} = \text{کارگر می‌کند}$$

$$\bar{\omega} = \text{بردار نمایش گرانیگاه}$$

$$I = \text{لنگر لختی}$$

$$\bar{J} = \sqrt{-1}$$

$$\bar{x} = \text{بردار نمایش بندگار}$$

$$\bar{R} = \text{بردار کمکی نمایش بندگار}$$

$$\bar{v} = \text{بردار سرعت}$$

$$w = \text{وزن}$$

$$\alpha = \text{شتاب زاویه‌ای}$$

$$\theta = \text{زاویهٔ بردار} \bar{x} \text{ از آسهٔ} x$$

$$\ell = \text{زاویهٔ بردار سرعت از آسهٔ} x$$

$$\omega = \text{سرعت زاویه‌ای}$$

دینامیک ساز و کارها، یعنی جنبش‌شناسی و نیرو‌شناسی آنها، به معنای یافتن مسیر، سرعت و شتاب نقطه‌های گوناگون آن، و "عمولاً" لولاهای و گرانیگاه‌های آن، است. از این‌رو، در نگاه نخست، جنین می‌نماید که همچون هر مساله دیگر دینامیک، می‌باید معادلهٔ حرکت نقطه‌های مورد نظر را نوشت و با مشتقگیری نسبت به زمان، سرعت و شتاب آنها را پیدا کرد. ولی از چند ساز و کار نخستین، مانند ساز و کار

این تجربه چنین است که ، در یک پروژه ، آرایش هندسی ، جرم و لنگر لختی بندگارهای یک سازوکار را به دانشجویان داده از آنها خواسته می شود که معادله های مسیر ، سرعت و شتاب لولاهای گرانیگاه بندگارها را پیدا کنند و این معادله ها را با رایانه بگشایند و پاسخهای را با ساختاری ترسیم کنند و از آنها منحنی برخی ویژگی های سازوکار را ، از روی پاسخهای رایانه ای بکشند .

تجربه نشان داده است که این پروژه ، از اینکه دانشجویان را وامی دارد تا دانش خود را در برنامه نویسی رایانه ای ، برای گشودن یک مساله مهندسی به کار گیرند و وزیدگی یابند به شادی می آورد و از اینکه در راه روند نوین و امروزین طراحی ، یعنی " طراحی به کمک رایانه " تجربه ای می کنند شور و دلیستگی تازه ای در آنان پدید می آورد .

نمونه ای از این پروژه ها ، که دانشجویان با راهنمایی و رایزنی نویسنده به کمک رایانه ۱۳۵-۳۷۰ IBM دانشگاه تهران ، به زبان فورتن IV انجام داده اند ، چنین است .

پروژه نمونه

در سازوکار شکل ۱ ، بندگار ۲ با سرعت زاویه ای θ_2 رادیان در ثانیه می چرخد و از راه بندگارهای ۳ و ۴ ، لغزندگاهی ۵ و ۶ را به رفت و برگشت وامی دارد . نقطه ۵ گرانیگاه بندگار ن است .

(الف) معادله حرکت ، سرعت و شتاب لولاهای گرانیگاهها را بدست آورید .

(ب) نیروی دوسر هر بندگار ، توان کار انداز و نیروی لرزشی سازوکار را پیدا کنید .

(پ) برنامه می برازی رایانه بنویسید که این کمیتها را در زاویه θ_2 از صفر تا 360° ، با افزایش 15° حساب کند . برای اطمینان از درستی برنامه خود ، پاسخهای ترسیمی سازوکار را در آن هنگام که آرایش آن مانند شکل ۱ است ، با پاسخهای رایانه ای بسنجید .

(ت) منحنی سرعت و شتاب نقطه خروجی سازوکار (E) را در دستگاه کارتین ، و منحنی توان کار انداز و نیروی لوزشی سازوکار را ، در مختصات قطبی بکشید .

"لغزندگاه - لنگی" یا " سازوکار چهار بندگاره " که بگذریم ، حتی برای سازوکارهای ساده ، معادله حرکت چنان پیچیده و دراز می شود که گشودن آنها ، از میدان شکیبایی و بردباری انسان بیرون است . نه تنها این ، که یافتن این معادله های حرکت ، خود کاری است برجسته ، و گاه توانغرسا .

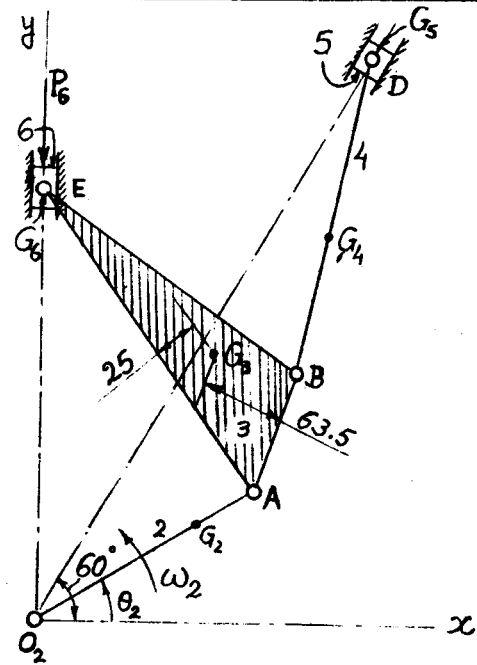
از این رو ، از دیرباز ، همه نویسنده گان کتابهای دینامیک ماشین را رسم برآین بوده است که مساله های دینامیک سازوکارها را ، از راه ترسیمی گشوده ، به همین شیوه آموزش دهندروش کار چنین است که هر دوره تناوب سازوکار (مثل "از 0° تا 360°) را ، بسته به دقیقی که نیاز است ، چند بخش کرده (مثل " ۲۴ بخش ۵ درجه ای) آوازش سازوکار را در آغاز و پایان هر بخش مشخص می کنند و سپس به جنبش شناسی و نیرو شناسی ساز و کار ، از راه ترسیمی می پردازند ، یعنی بترتیب ، نمودار سرعت ، شتاب و نیروی سازوکار را ، بارو شی که در همه این کتابهای دست ، می کشند [۱] و [۲] .

این راه ، که ساده ترین راه جنبش شناسی و نیرو شناسی سازوکارها بوده است ، خود با دشواری هایی همراه است . نخست ، چنانکه می بینیم ، در هر دوره تناوب ، به شمار بخش های آن (در مثال بالا ۲۴ بار) باید این سه نمودار را ، با دقت زیاد کشید ، که در جای خود ، کار دشواری است . دوم ، در بسیاری از مساله ها ، خطای این پاسخهای ترسیمی نا بخشودنی است و در کار طراحی به پاسخهای دقیقتری ، که تنها از راه تحلیلی می توان بدست آورد ، نیاز داریم ، یعنی روش ترسیمی پاسخگوی نیاز طراح نیست .

نتیه ای از جنبش شناسی و نیرو شناسی دقیق سازوکارها ، همچون دیگر مساله های دشوار مهندسی ، بهره گیری از رایانه است . امروزه برخی دانشگاه ها و پژوهشگاه های بزرگ دنیا کوشیده اند تا جنبش و نیروی سازوکارها را باروش تحلیلی ، ولی به کمک رایانه ، بشناسند [۳] تا هم بار محاسبه برد و ش طراح سنجی نکند و هم طراح ، با همه رنجزی که در راه یافتن پاسخهای ترسیمی می کشد ، از پذیرفتن خطای آنها گزیر نباشد * . نویسنده ، در درازای چندین سال آموزش دینامیک ماشین ، پیوسته به این نکته بخورد است که ، گشودن مساله های دینامیک سازوکارها از راه ترسیمی سلاح کم توانی است که دانشجویان را ، بویژه در پروژه های طراحی ماشین ، چنانکه باید و شاید یاری نمی دهد . از این رو ، چند سال است که همچای آموزش نظری این درس ، تجربه دیگری نیز کرده است که نتیجه آن ، بروزی بیش از صد دانشجو ، نشانگر موفقیت آمیز و پر بار بودن آن می باشد ..

* این پروژه در گروه مهندسی مکانیک دانشکده فنی تیز ، هم اکنون ، در دست پژوهش است .

$$\begin{aligned}
 O_2A &= 175 \text{ mm} & W_2 &= 9 \text{ Kgf} & I_2 &= 7.5 \text{ Kgf-mm-s}^2 \\
 AB &= 87.5 \text{ mm} & W_3 &= 7.5 \text{ "} & I_3 &= 6 \text{ "} \\
 AE &= 262.5 \text{ "} & W_4 &= 5 \text{ "} & I_4 &= 22.5 \text{ "} \\
 BE &= 219 \text{ "} & W_5 &= 6 \text{ "} & I_5 &= 30 \text{ "} \\
 BD &= 225 \text{ "} & W_6 &= 6 \text{ "} & I_6 &= 30 \text{ "} \\
 O_2G_2 &= 125 \text{ "} & P_6 &= 40 \text{ "} & \theta_2 &= 30^\circ \\
 BG_4 &= 100 \text{ "} & & & & \\
 \omega_2 &= 12 \text{ rpm} & & & &
 \end{aligned}$$



شکل ۱ - رایش ساز و کار

روش به دست آوردن معادله ها

این معادله های برداری، با بهره گیری از مختصات قطبی مختلط، بترتیب به چهاره زیر در می آیند:

$$r_2 e^{j\theta_2} + r_3 e^{j\theta_3} = r_6 e^{j\frac{\pi}{2}} \quad (1)$$

$$r_2 e^{j\theta_2} + R_3 e^{j(\theta_3 - \beta)} + r_4 e^{j\theta_4} = r_5 e^{j\frac{\pi}{3}}$$

و از گشودن این معادله ها، ناشناخته های مساله، بر حسب θ_2

$$s = -\frac{r_2}{r_3} \cos \theta_2 \quad \text{به دست می آید:}$$

$$\theta_3 = \cos^{-1} s$$

$$r_6 = r_2 \sin \theta_2 + r_3 \sin \theta_3 \quad (2)$$

$$r_B e^{j\theta_B} = r_2 e^{j\theta_2} + R_3 e^{j(\theta_3 - \beta)}$$

$$U = \frac{-r_B}{r_4} \sin (\theta_B - \frac{\pi}{3})$$

$$\theta_4 = \frac{\pi}{3} + \sin^{-1} U$$

$$r_5 = 2r_4 \cos \theta_4 + 2R \cos \theta_B$$

$$r_{G3} e^{j\theta_{G3}} = r_2 e^{j\theta_2} + g_3 e^{j(e_5 - \beta + \gamma)}$$

$$r_{G4} e^{j\theta_{G4}} = r_B e^{j\theta_B} + g_4 e^{j\theta_4}$$

معادله های حرکت، سرعت و شتاب را می توان به چند روش به دست آورد که کوتاه ترین و مناسب ترین آنها بهره گیری از مختصات قطبی مختلط است [۴]. در این نوشتار، برای نمونه، معادله های حرکت و سرعت لولاهای و گرانیکاها، و نیز معادله های حرکت بندگارها را با این روش به دست می آوریم. معادله های شتاب از مشتقه گیری معادله های سرعت به دست می آید.

معادله های حرکت لولاهای و گرانیکاها

هر یک از بندگارها را، در چهاره یک بردار، مانند شکل ۲، نمایش می دهیم آنچنانکه اندازه آن، اندازه همان بندگار بوده، شبیه آن از یک راستای شناخته شده، مثلاً آسه x، مشخص شود (در بندگارهای دو بعدی، مانند بندگار ۳، در صورت نیاز هر پهلوی آن را می توان با یک بردار نمایش داد).

در این ساز و کار، r_6 ، r_5 ، r_4 و r_3 ناشناخته اند که از گشودن معادله های برداری دو حلقه O_2ABDO_2 و O_2AEO_2 به دست می آیند [۵]

$$\bar{r}_2 + \bar{r}_3 - \bar{r}_6 = 0 \quad : O_2 A E O_2$$

$$\bar{r}_2 + \bar{r}_3 + \bar{r}_4 - \bar{r}_5 = 0 \quad : O_2 A B D O_2$$

$$\dot{s} = -\frac{r_2}{r_3} \omega_2 \sin \theta_2$$

$$\omega_3 = -\dot{s}/\sin \theta_3$$

$$\bar{v}_A = v_A e^{j\ell_A} = r_2 \omega_2 e^{j(\theta_2 + \frac{\pi}{2})}$$

$$He^{jh} = r_2 \omega_2 e^{j\theta_2} + R_3 \omega_3 e^{j(\theta_3 - \beta)}$$

$$\dot{\theta}_B = \frac{H}{r_B} \cos(\theta_B - h)$$

$$\dot{r}_B = H \sin(\theta_B - h)$$

$$\bar{v}_B = v_B e^{j\ell_B} = He^{j(h + \frac{\pi}{2})}$$

$$\dot{U} = \frac{-\dot{r}_B}{r_4} \sin(\theta_B - \frac{\pi}{3}) - \frac{r_B}{r_4} \dot{\theta}_B \cos(\theta_B - \frac{\pi}{3})$$

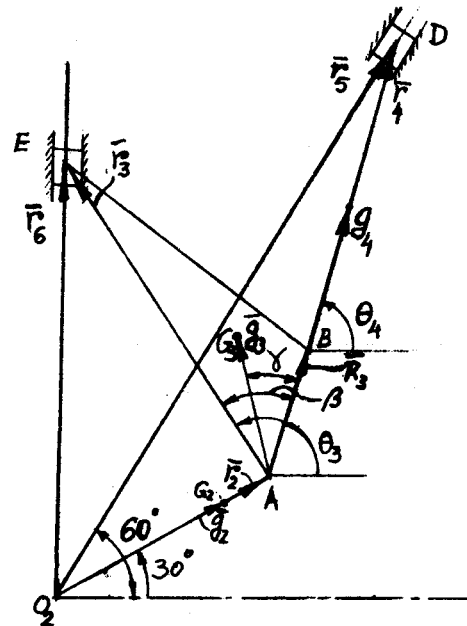
$$\omega_4 = \dot{U}/\cos(\sin^{-1} U)$$

$$\bar{v}_D = v_D e^{j\ell_D} = 2(-r_4 \omega_4 \sin \theta_4 + \dot{r}_B \cos \theta_B) e^{j - \frac{\pi}{3}} \\ - r_B \dot{\theta}_B \sin \theta_B e^{j - \frac{\pi}{3}}$$

$$\bar{v}_E = v_E e^{j\ell_E} = (r_2 \omega_2 \cos \theta_2 + r_3 \omega_3 \cos \theta_3) e^{j - \frac{\pi}{2}}$$

$$\bar{v}_{G3} = v_{G3} e^{j\ell_{G3}} = r_2 \omega_2 e^{j(\theta_2 + \frac{\pi}{2})} \\ + g_3 \omega_3 e^{j(\theta_3 - \beta + r + \gamma - \frac{\pi}{2})}$$

$$\bar{v}_{G4} = v_{G4} e^{j\ell_{G4}} = He^{j(h + \frac{\pi}{2})} + g_4 \omega_4 e^{j(\theta_4 + \frac{\pi}{2})}$$



شکل ۲ - نمایش برداری ساز و کار

کمیتهای کمکی s و U برای آسان شدن کار محاسبه و کوتاه شدن دستورها و پیشگیری از اشتباه در برنامه نویسی است. در این معادله ها، $\theta_B = \widehat{xO_2B}$ و $r_B = O_2B$ که باهم بردار جایگان نقطه B را می دهند و روی شکل نشان داده نشده است. همچنین است بردار جایگان نقطه های G_3 و G_4 (یعنی \bar{r}_{G3} و \bar{r}_{G4}) آشکار است که کمیتهای بالا باید به همان ترتیبی که نوشته شده است حساب شوند. پس مختصات لولاهای گرانیکاها، و بدیگر سخن معادله حرکت یا بردار جایگان آنها، چنین است

$$\begin{aligned} A &: \text{بردار جایگان نقطه } A, \bar{r}_2 e^{j\theta_2} \\ B &: \text{بردار جایگان نقطه } B, \bar{r}_B e^{j\theta_B} \\ D &: \text{بردار جایگان نقطه } D, \bar{r}_5 e^{j\pi/3} \\ E &: \text{بردار جایگان نقطه } E, \bar{r}_6 e^{j\pi/2} \\ G_3 &: \text{بردار جایگان نقطه } G_3, \bar{r}_{G_3} e^{j\theta_{G_3}} \\ G_4 &: \text{بردار جایگان نقطه } G_4, \bar{r}_{G_4} e^{j\theta_{G_4}} \end{aligned} \quad (3)$$

سرعت شناسی و شتاب شناسی

سرعت لولاهای گرانیکاها، مشتق معادله های (۲) نسبت به زمان است، که به کمک معادله های (۳) معادله سرعت های خطی و زاویه ای ساز و کار به دست می آید.

در این معادله ها H و h کمیتهای کمکی هستند.

البتدی می‌توان معادله دوم (۵) را نسبت به \bar{B} نوشت تا تنها یک ناشناخته، F_{15} در آن بماند. بدینسان، می‌توان معادله‌های تعادل هر بندگار را نوشت و نیروی لولاهای آن را دریافت. اگر سازوکار چنان باشد که مجهولهای برخی بندگارهای آن از شمار معادله‌های تعادل آن بیشتر شود می‌توان اثربروهای استاتیکی (نیروهای معلوم بیرونی، \bar{P}_6) و نیروهای لختی بندگارهای جدایدا، در هر لولا پیدا کرد و سپس با بهره‌گیری از اصل انتطاق، آنها را برحمن افزود تا نیروی کاری بر هر بندگار، در هر سر آن، پیدا شود. نیروشناسی سازوکار مورد نظر نیز به معین روش انجام شده است.

در اینجا، برای سادگی، از نیروهای مالش چشم پوشیده‌ایم.

برنامه رایانه‌ای

این برنامه که نمودار جریان آن در شکل ۴ دیده می‌شود، مختصات، سرعت و شتاب لولاهای گرانیگاه، سرعت و شتاب زاویه‌ای بندگارها، نیروی لولاهای و توان راه‌انداز سازوکار را، در هر θ حساب کرده، چاپ می‌کند. کمیتهای کمکی s ، H ، U و h برای کوتاه کردن معادله‌ها به کار گرفته شده‌اند و از این‌رو در کوتاه کردن و ساده شدن برنامه تاثیر بسزایی دارند.

چنان‌که می‌بینیم، در این برنامه، چندین بار، به‌یافتن برآیند دو بردار، مانند دستور جهارم از معادله‌های (۲) و (۴)، نیاز می‌افتد که برای جلوگیری از تکرار محاسبه‌های مشابه، از زیر برنامه کوچک SUM بهره‌گیری شده است. این زیر برنامه برآیند دو بردار $R_1 e^{j\theta_1}$ و $R_2 e^{j\theta_2}$ را حساب می‌کند ($R = R_1 e^{j\theta_1} + R_2 e^{j\theta_2}$) و θ را به‌دست می‌دهد.

معادله‌های شتاب خطی و زاویه‌ای نیز با مشتقگیری از معادله‌های (۴) و بهره‌گیری از معادله‌های پیشین به‌دست می‌آید. این نکته در خور یاد آوری است که، این معادله‌ها برای هر سازوکار باید از آغاز جداگانه حساب شود، و این یکی از هدفهای این پروژه است، که دانشجو دشواری‌های را که بر سر راه تحلیل نیز هست دریابد و بفهمد که یک برنامه پیکان برای همه سازوکارها تا چه اندازه با ارزش بوده، می‌تواند مفید باشد.

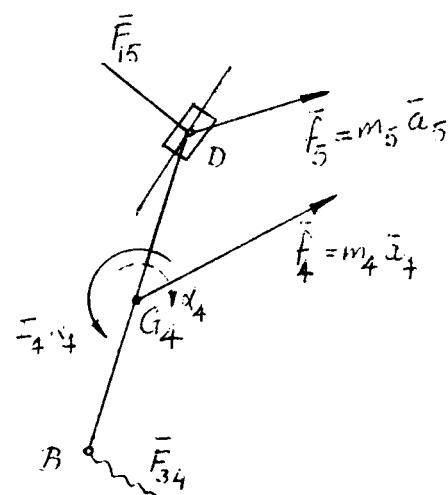
نیروشناسی

برای نیروشناسی سازوکار، پیکر آزاد بندگارهای را می‌کشیم. برای نموده، پیکر آزاد بندگار ۴ و ۵ یکجا، در شکل (۳)، نموده شده است. در این شکل سه ناشناخته هست (اندازه، \bar{F}_{34} ، اندازه و راستای \bar{F}_{34}) که از معادله‌های تعادل (باتوجه به اصل دالامبر) حساب می‌شوند [۶].

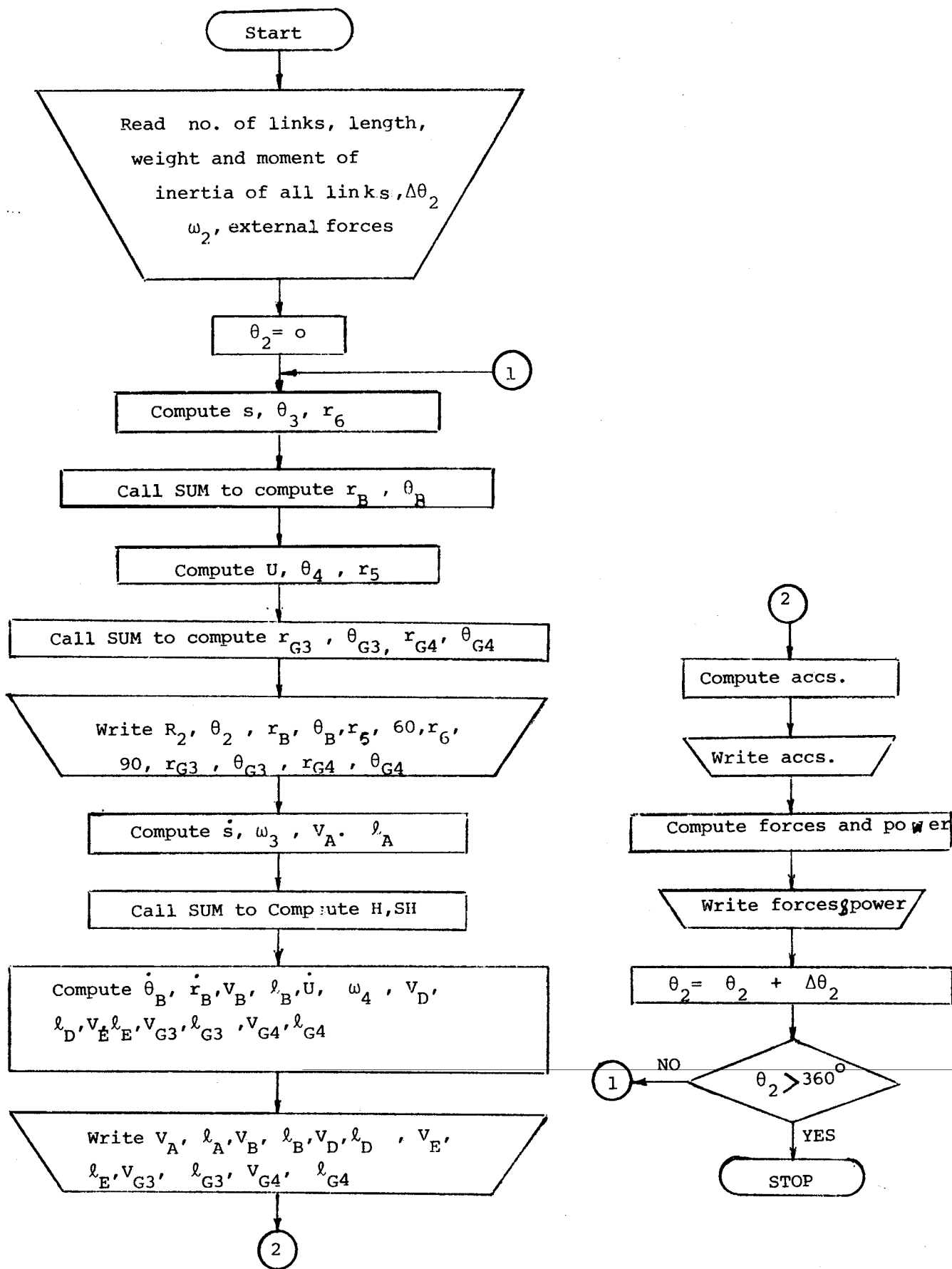
$$(5) \quad \sum \bar{F} = \bar{F}_{34} + \bar{F}_{15} + \bar{F}_4 + \bar{F}_5 = 0$$

$\sum M_{G4} = G_4 B \times \bar{F}_{34} + G_4 D \times (\bar{F}_{15} + \bar{F}_5) - I_4 \ddot{\alpha}_4 = 0$

این معادله‌ها، همان معادله‌های حرکت گرانیگاه و حرکت گردگرانیگاه است (V) که از گشودن آنها \bar{F}_{34} و \bar{F}_{15} به‌دست می‌آید.



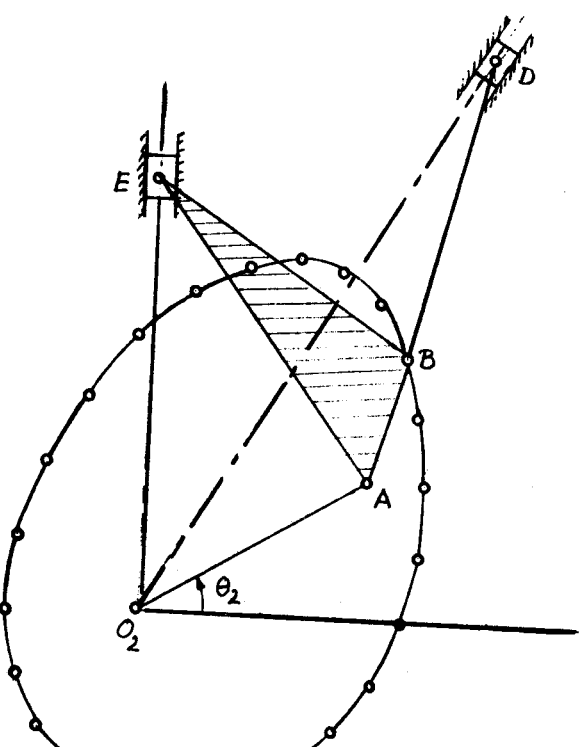
شکل ۳ - پیکر آزاد بندگار ۴ و ۵



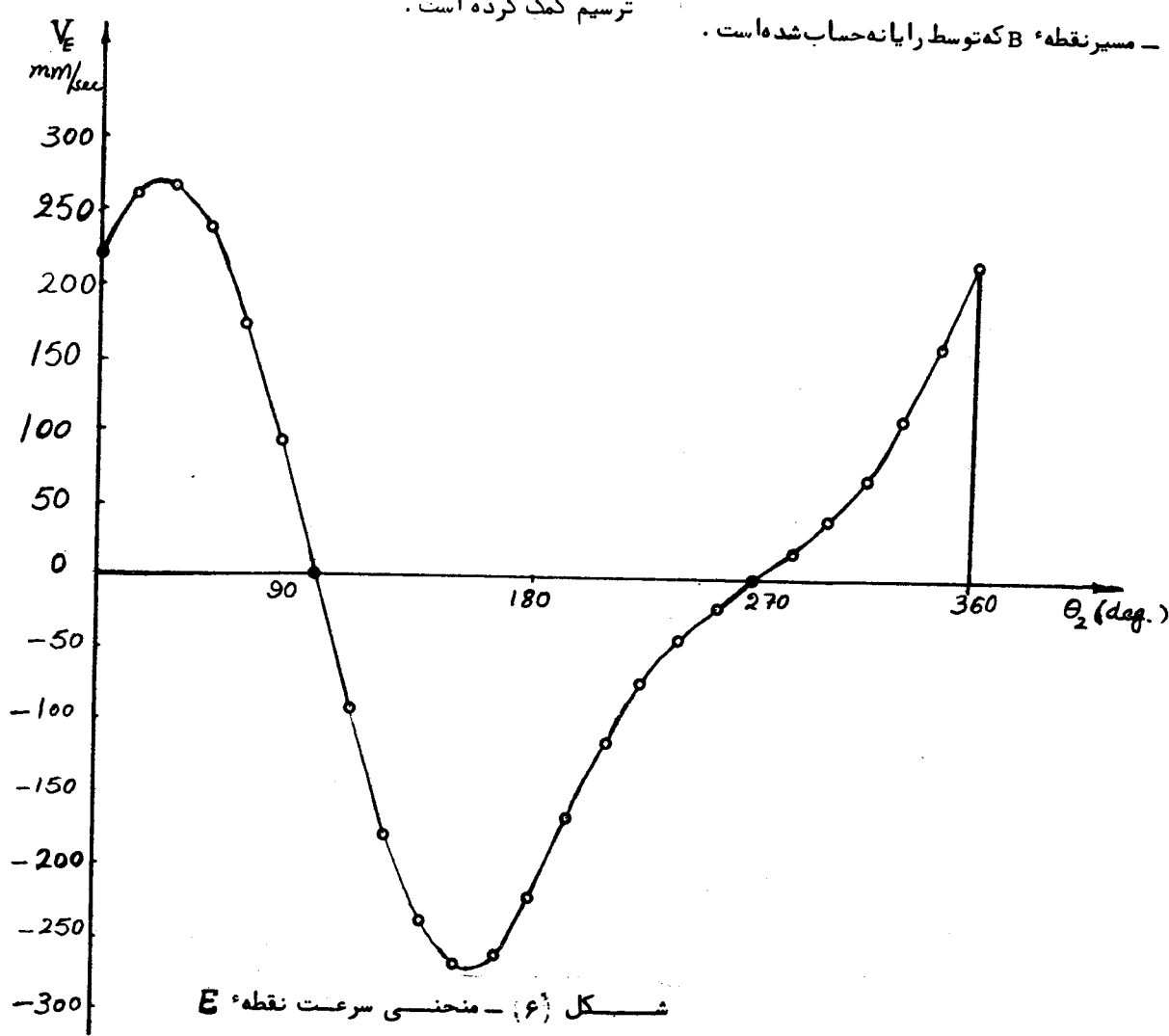
این برنامه مختصات، سرعتها، شتابها و نیروهای برای هر θ_2 حساب کرده، آنچه را که در صورت پرتوخواسته شده است چاپ می‌کند. دانشجو از همسنجی پاسخهای رایانه‌ای و ترسیمی در لحظه مورد نظر، شکل ۱، بادرستی برنامه خود و نیز کم‌دقیقی کار ترسیم و نیز کارآبی روش رایانه‌ای بی‌می‌برد.

پاسخهای رایانه‌ای

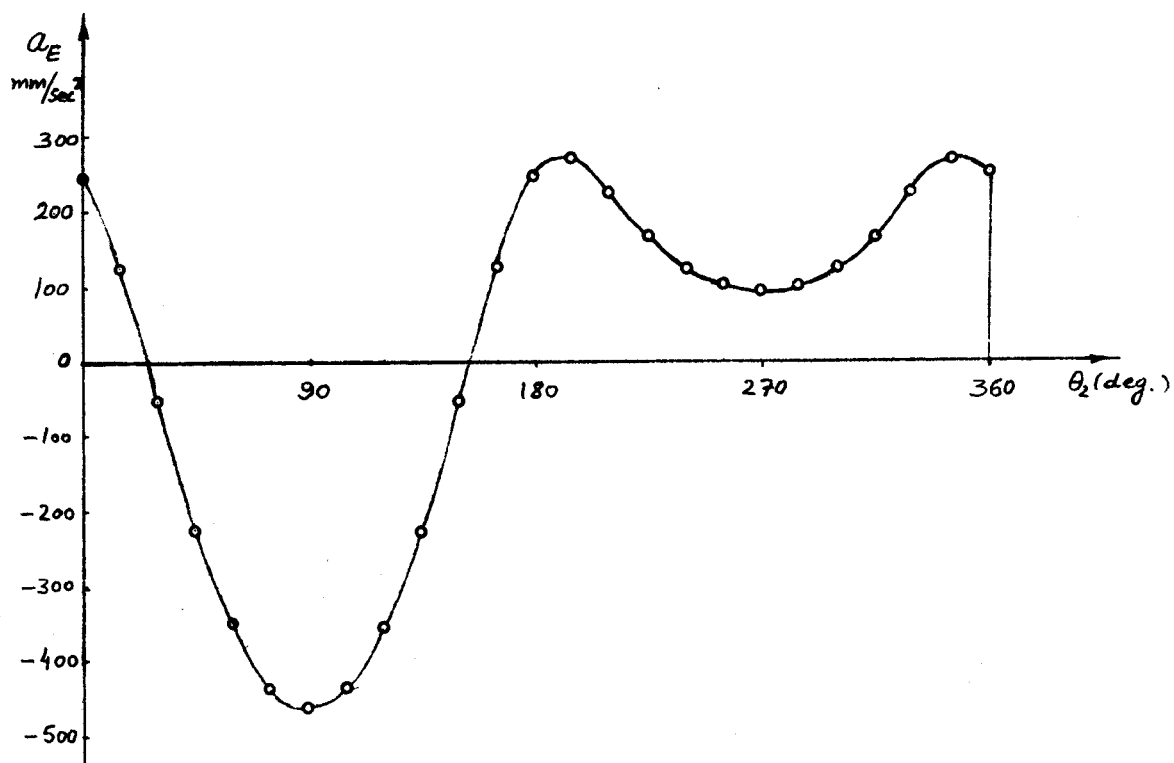
در شکل ۵ مسیر نقطه B، که از محاسبه رایانه‌ای بدست آمده، نموده شده است. جدولهای ۱ تا ۴، نتیجه‌های ترسیمی و رایانه‌ای را نشان می‌دهد. البته باید یاد آور شد که در این پرتوخواست، کار ترسیم با دقت زیاد انجام شده است تا درستی برنامه رایانه‌ای بادرجه اعتقاد زیاد ارزیابی شود، و گرنخ طای ترسیم، در عمل، معمولاً بیش از اینهاست. بویژه، در اینجا ویژگیهای ساز و کار چنان بوده است که بدقت ترسیم کم کرده است.



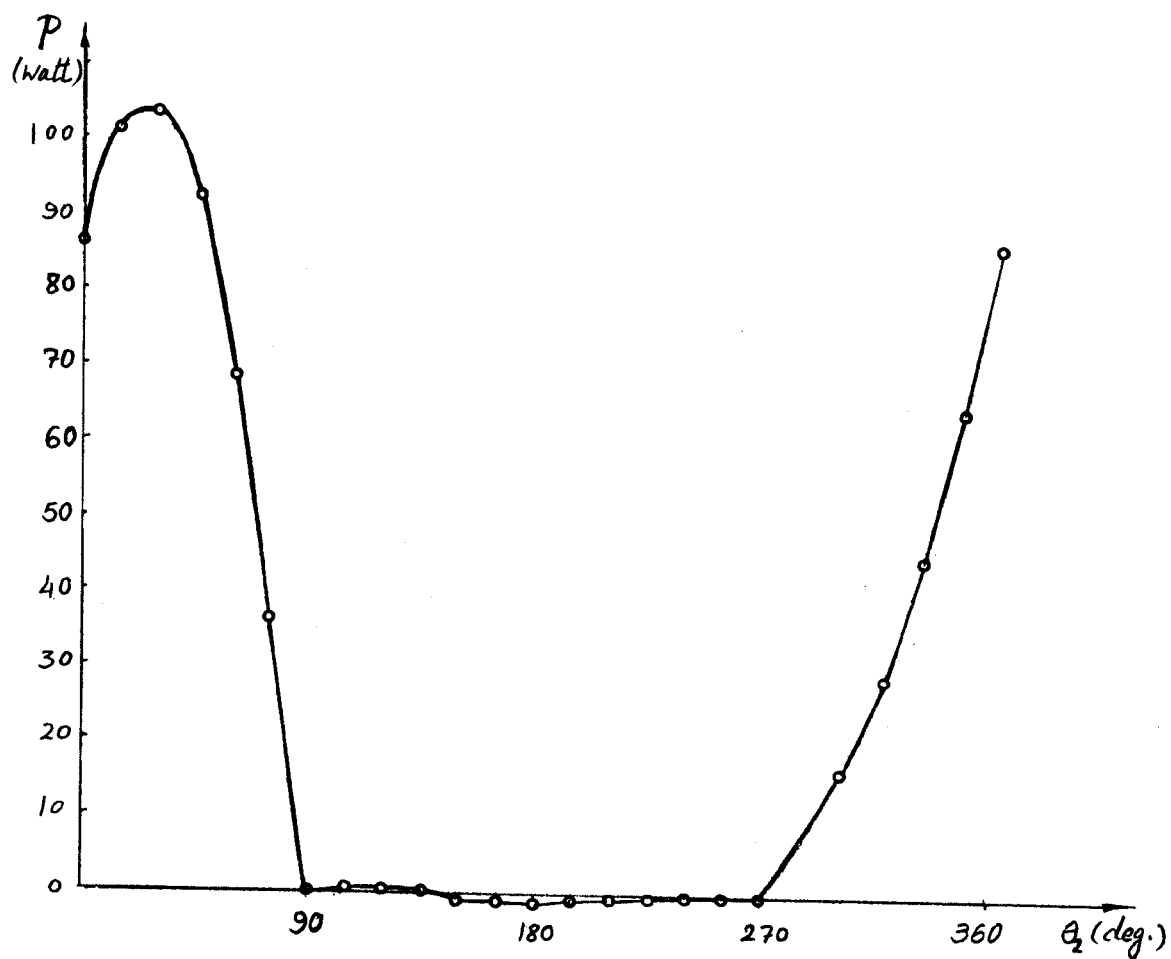
شکل ۵ - مسیر نقطه B که توسط رایانه حساب شده است.



شکل (۶) - منحنی سرعت نقطه E



شکل (۷) - منحنی شتاب نقطه E



شکل (۸) - منحنی توان کارانداز ساز و کار

جدول (۲) - شتابهای خطی و زاویهای

شتاب	پاسخ رایانه‌ای	پاسخ ترسیمی
A (mm/s^2)	276 $ 210^\circ$	276.3 $ 210^\circ$
B "	246 $ 227^\circ$	246 $ 228^\circ$
D "	-334 $ 60^\circ$	336 $ 240^\circ$
E "	-54 $ 90^\circ$	52.5 $ 270^\circ$
G ₂ "	197 $ 210^\circ$	196.5 $ 210^\circ$
G ₃ "	185 $ 222^\circ$	186 $ 222^\circ$
G ₄ "	283 $ 234^\circ$	285 $ 234^\circ$
$\alpha_3 (\text{rad/s}^2)$	0.93	0.93
$\alpha_4 "$	0.11	0.083

جدول (۱) - سرعتهای خطی و زاویهای

سرعت	پاسخ رایانه‌ای	پاسخ ترسیمی
A (mm/s)	220 $ 120^\circ$	219.9 $ 120^\circ$
B "	191 $ 110^\circ$	90 $ 111^\circ$
D "	166 $ 60^\circ$	166.2 $ 60^\circ$
E "	268 $ 90^\circ$	268.7 $ 90^\circ$
G ₂ "	157 $ 120^\circ$	156.2 $ 120^\circ$
G ₃ "	220 $ 106^\circ$	218.7 $ 106^\circ$
G ₄ "	163 $ 90^\circ$	162.5 $ 90^\circ$
$\omega_3 (\text{rad/s})$	0.51	0.5
$\omega_4 "$	0.68	0.69

جدول (۴) - نیروها و گشتاور کارانداز دینامیکی

نیروی دینامیکی	پاسخ رایانه‌ای	پاسخ ترسیمی
* 12 (Kgf)	-0.628 $ 61^\circ$	0.593 $ 243^\circ$
15 "	-0.075 $ 330^\circ$	0.073 $ 150^\circ$
16 "	-0.776 $ 0^\circ$	0.080 $ 130^\circ$
23 "	-0.482 $ 72^\circ$	0.473 $ 253^\circ$
43 "	0.353 $ 70^\circ$	0.350 $ 695^\circ$
54 "	0.217 $ 80^\circ$	0.217 $ 80^\circ$
63 "	0.084 $ 157^\circ$	0.087 $ 157^\circ$
نیروی لرزشی	0.680 $ 49^\circ$	0.686 $ 49^\circ$
T ₂ (Kgf-m)	0.566	0.548

جدول (۳) - نیروها و گشتاور کارانداز استاتیکی

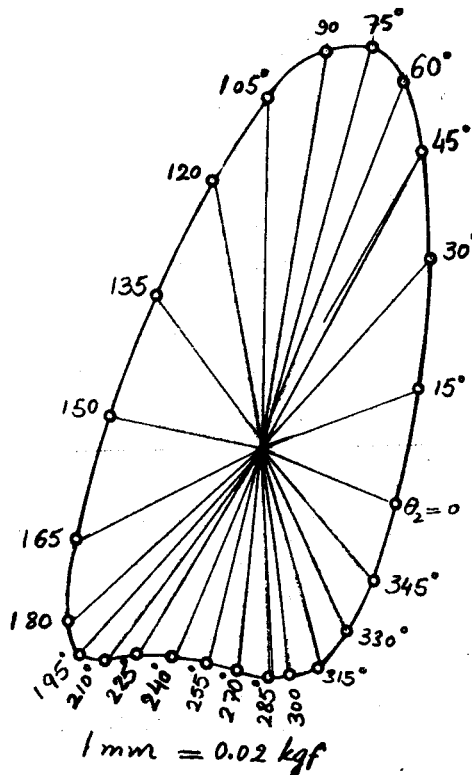
نیروی استاتیکی	پاسخ رایانه‌ای	پاسخ ترسیمی
* 12 (Kgf)	48.984 $ 125^\circ$	49 $ 125^\circ$
16 "	28.275 $ 0^\circ$	28 $ 0^\circ$
32 "	-48.984 $ 125^\circ$	-49 $ 125^\circ$
63 "	-48.984 $ 125^\circ$	-49 $ 125^\circ$
T ₂ (kgf-m)	85.137	85.362

* یعنی نیرویی که بندگار ۱ بر ۲ کارگر می‌کند.

* یعنی نیرویی که بندگار ۱ بر ۲ کارگر می‌کند.

(ت) دانشجویان از همسنحی پاسخهای رایانه‌ای و ترسیمی در لحظه موردنظر، به درستی برنامه خود و نیز کم‌دقیقی کار ترسیم و نیز کارآبی روش رایانه‌ای در صرفه‌جویی زمانی بی خواهد برد.

(ج) دانشجویان بهره‌گیری از رایانه را در گشودن مساله‌های مهندسی می‌آزمایند و برای "طراحی به کمک رایانه" کرونوندوین و امروزین طراحی است تشویق و آماده می‌شوند. و این‌ها، ونه کمترین نکته با بهره‌وری از رایانه‌های کوچک که روزبه روز فراوانتر و گوناگونتر و ارزانتر پا به میدان علم و فن می‌گذارند، این پرتوهای آموزشی برای دانشجویان بسیار شوق‌انگیز و گیراتر خواهد شد، با این ابزار پرتوان، می‌توانند، افزون بر محاسبه، آرایش سازوکار، و نیز شکل منحنی‌های خواسته شده را روی صفحه، تلویزیونی رایانه بکشند و ببینند. از این راه، زمان انجام پرتوهای نیز بسیار کوتاه‌تر می‌شود.



شکل ۹ - منحنی نیروی لرزشی ساز و کار

نقطهٔ خروجی این سازوکار E است که شکل ۶ منحنی سرعت و شکل ۷ منحنی شتاب آن را که با رایانه حساب شده است نشان می‌دهد و شکل ۸ منحنی توان کارانداز است که از روی آن بیشترین توان موردنیاز، یعنی توان موتور سازوکار را، می‌توان یافت. شکل ۹ منحنی نیروی لرزشی ($\sum_{i=1}^n F_i \cos \theta_i$) در مختصات قطبی، بر حسب θ_2 ، است. از روی این منحنی می‌توان بسادگی نیروی لرزشی بیشینه و زمان پدیدآمدن آن را بدست آورد. این منحنیها، که از روی پاسخهای رایانه‌ای کشیده شده‌است، باهم، آنکه کاملی از ویژگی‌های دینامیکی سازوکار به دست می‌دهند.

نتیجه

در این نوشتار، روش کندوکاو دینامیکی یک سازوکار را با رایانه، توسط دانشجویان، دیدیم. آموزش دینامیک سازوکارها با رایانه چند خوبی و برتری دارد:

- (الف) رهابی از رنج حل ترسیمی، که در فاصله‌های مشخص، در یک دورهٔ تناوب، باید آن را ازسر گرفت.
- (ب) دستیابی به پاسخهای دقیق، به جای پاسخهای خطأ آمیز ترسیمی.

(پ) جلوگیری از دوباره کاری، به این معنی که اگر داده‌های مساله تغییر کند تنها داده‌های برنامهٔ رایانه‌ای تغییر خواهد کرد. در حالی که با روش ترسیمی باید همگی ترسیمها را، با داده‌های جدید از سر گرفت.

واژه‌نامهٔ فارسی - انگلیسی

block diagram	نمودار جریان برنامه
position vector	بردار جایگان
link	بندگار
kinematics	جنبش‌شناسی
computer	رایانه
subroutine	زیربرنامه
four bar mechanism	سازوکار چهاربندگاره
slider-crank mechanism	سازوکار لفرزنده - لنگی
computer aided design	طراحی به کمک رایانه
centre of gravity	گرانیگاه
moment of inertia	لنجیر لختی
complex polar coordinates	مختصات قطبی مختلط
kinetics	نیروشناسی
inertia force	نیروی لختی
shaking force	نیروی لرزشی
symbol	نماد

فهرست منابع

- 1- A.R. Holowenko, Dynamics of Machinery, John Wiley, 1958, pp 3-126.
- 2- J.E. Shigley & J.J. Uicker, Jr., Theory of Machines and Mechanisms, Mc Graw Hill, 1980, pp 69-168.

- ۳) - همان، ص ۱۸۸ تا ۱۹۱
- ۴) - همان، ص ۴۶ تا ۵۱
- ۵) - همان، ص ۱۸۱
- ۶) - همان، ص ۴۲۶ تا ۴۲۹
- (۷) - دکتر جلیل نامیلی، مهندس کاظم ابهری،
mekanik bordan, dinamik, AmirKabir, ۱۳۴۹، ص ۱۷۷